

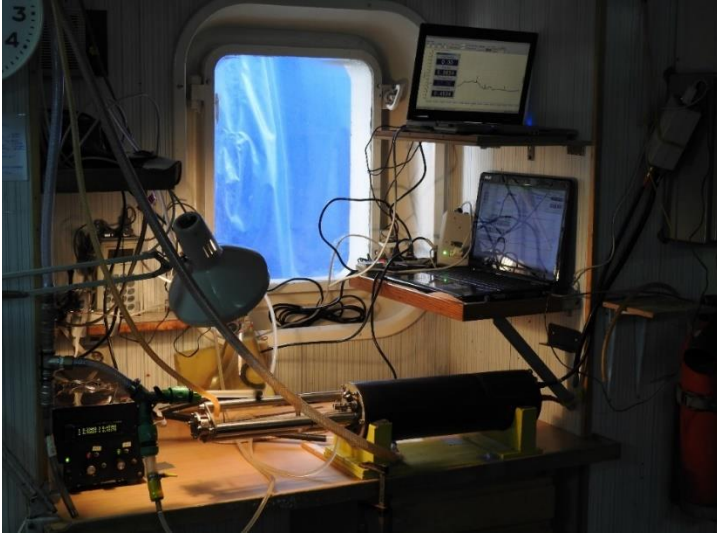


Восемнадцатая Всероссийская открытая конференция
"Современные проблемы дистанционного зондирования
Земли из космоса"

Исследование биооптических характеристик поверхностного слоя Баренцева моря летом 2020 г.

Глуховец Д.И., Лохов А.С., Храпко А.Н., Салинг И.В.
glukhovets@ocean.ru

Оборудование



Приборы проточного измерительного комплекса



Погружаемый датчик измерителя ФАР LiCOR



Счетчик Коултера Multisizer-3



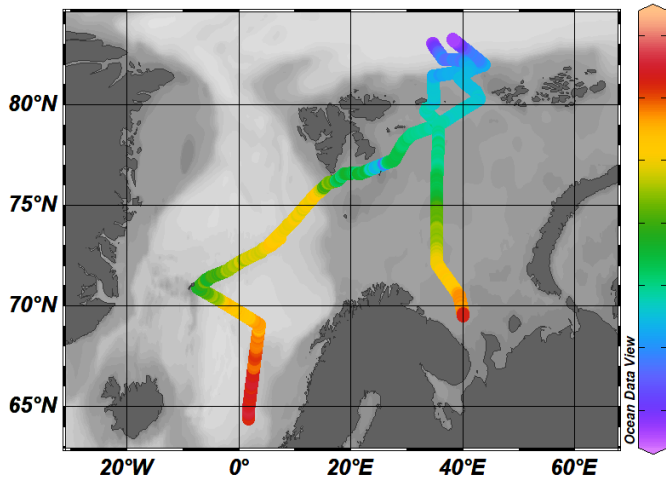
Плавающий спектрорадиометр ПРО-1



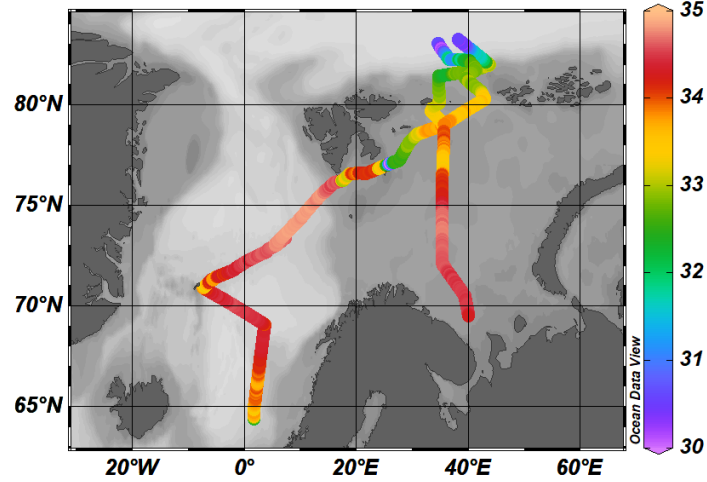
Измеритель малоуглового рассеяния LISST-Deer

Пространственные распределения биооптических характеристик

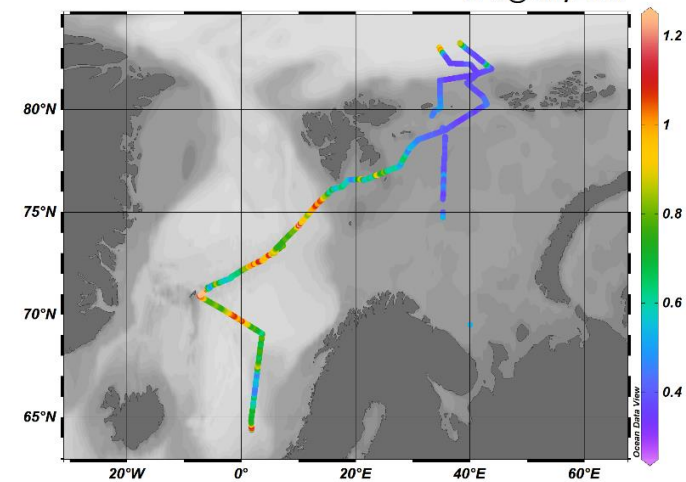
temp @ temp=first



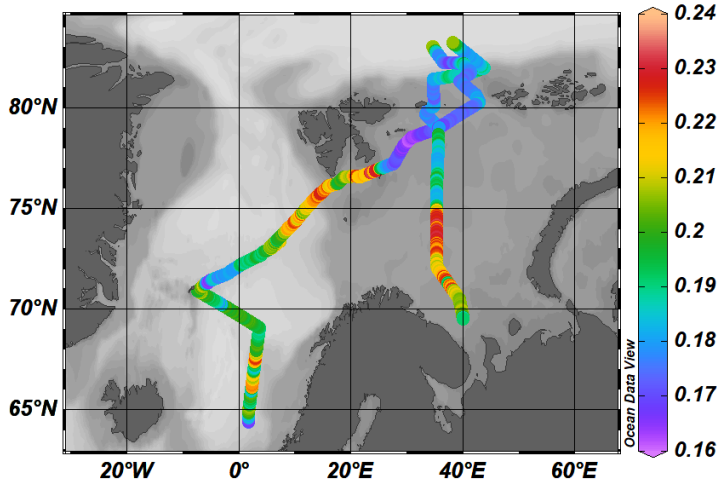
sal @ temp=first



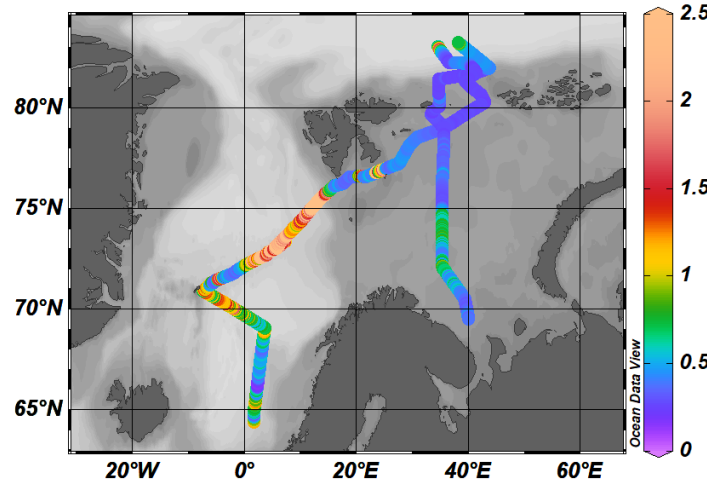
EPS @ temp=first



UDOM @ temp=first

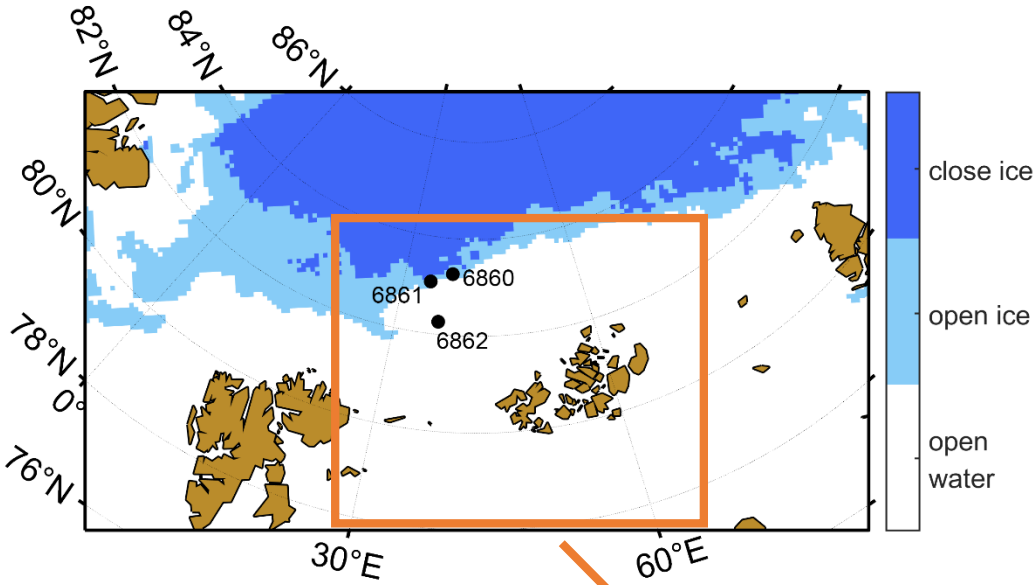


Uchl @ temp=first

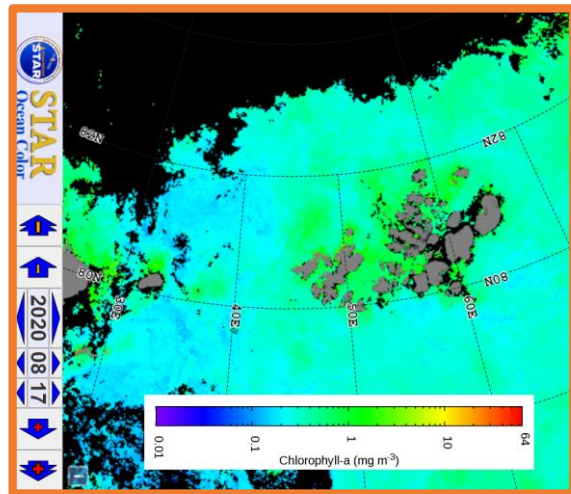


Пространственные распределения температуры (вверху слева), солености (вверху в центре), показателя ослабления (вверху справа) и интенсивностей флуоресценции ОРОВ (снизу слева) и Хл (снизу справа) в поверхностном слое вод. Интенсивности флуоресценции приведены в рамановских единицах. 80-й рейс НИС «Академик Мстислав Келдыш», 5 – 23 августа 2020 г.

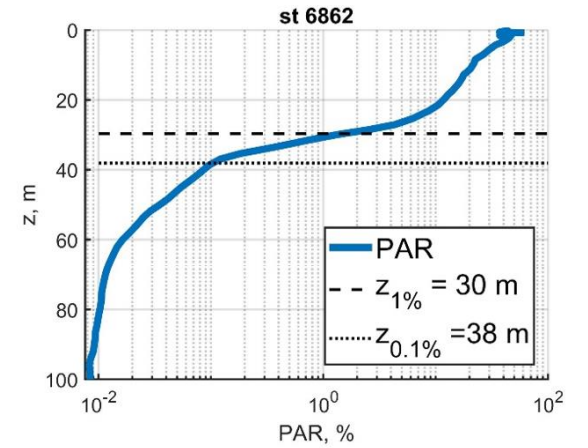
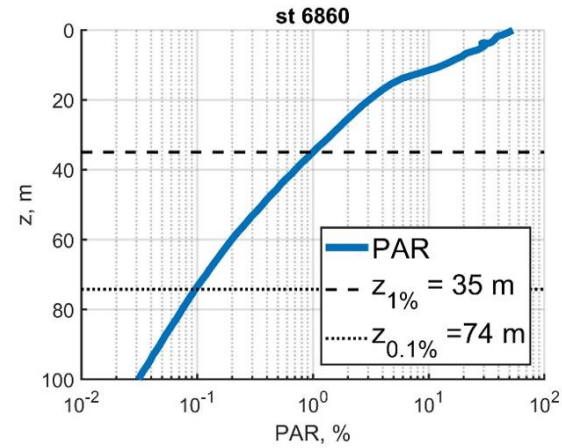
У ледовой кромки



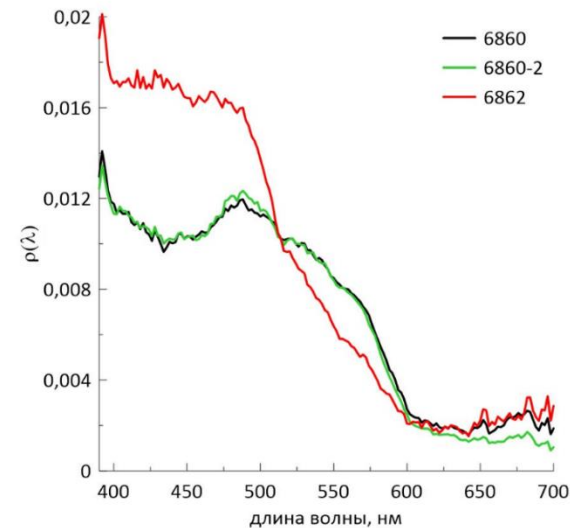
Пространственное распределение типов льда по данным модели OSI-402, 17 августа 2020 г.: вода (белый), разреженный лед (голубой), сплочённый лед (синий).



Концентрация Хл по данным OLCI, 17-24 августа 2020 г.

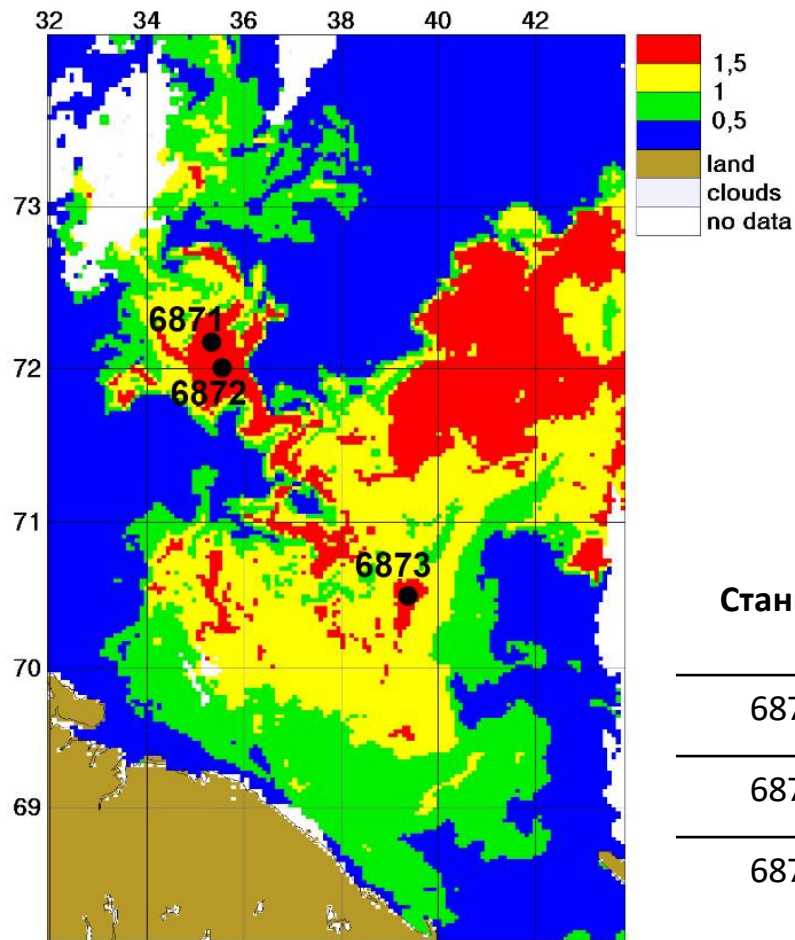


Профили подводной облученности сверху в диапазоне ФАР, измеренные прибором LI-COR и нормированные на значения палубного датчика. Горизонтальными линиями показаны уровни 1 % и 0,1 %. Станции 6860 и 6862, 17-18 августа 2020 г.

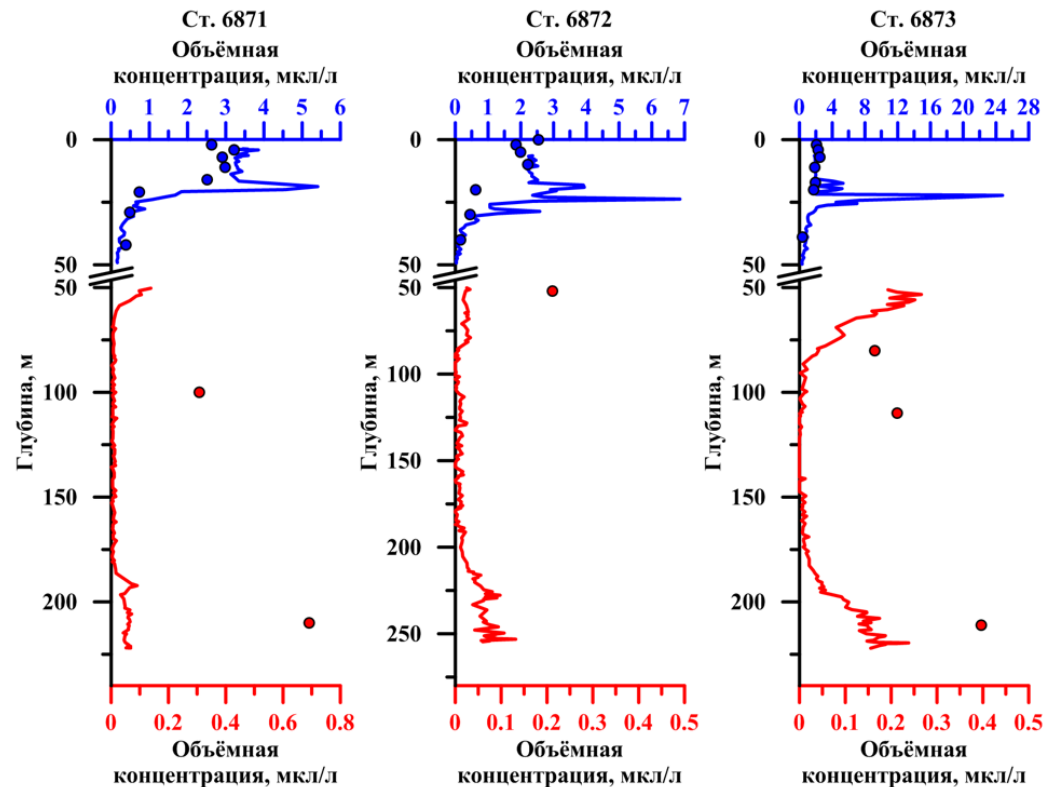


Спектры коэффициентов яркости $\rho(\lambda)$ излучения, выходящего из водной толщи

Кокколитофоридные цветение



Пространственное распределение концентрации клеток кокколитофорид N_{coc} (млн. кл./л), рассчитанное по региональному алгоритму ИО РАН по данным MODIS и VIIRS. 19-20 августа 2020 г.



Распределения объемных концентраций взвеси по глубине, по данным LISST-Deer (линии) и счетчика Коултера (точки), на станциях 6871 (слева), 6872 (в центре) и 6873 (справа). Цветом разделены различные диапазоны.